

Fig. 1

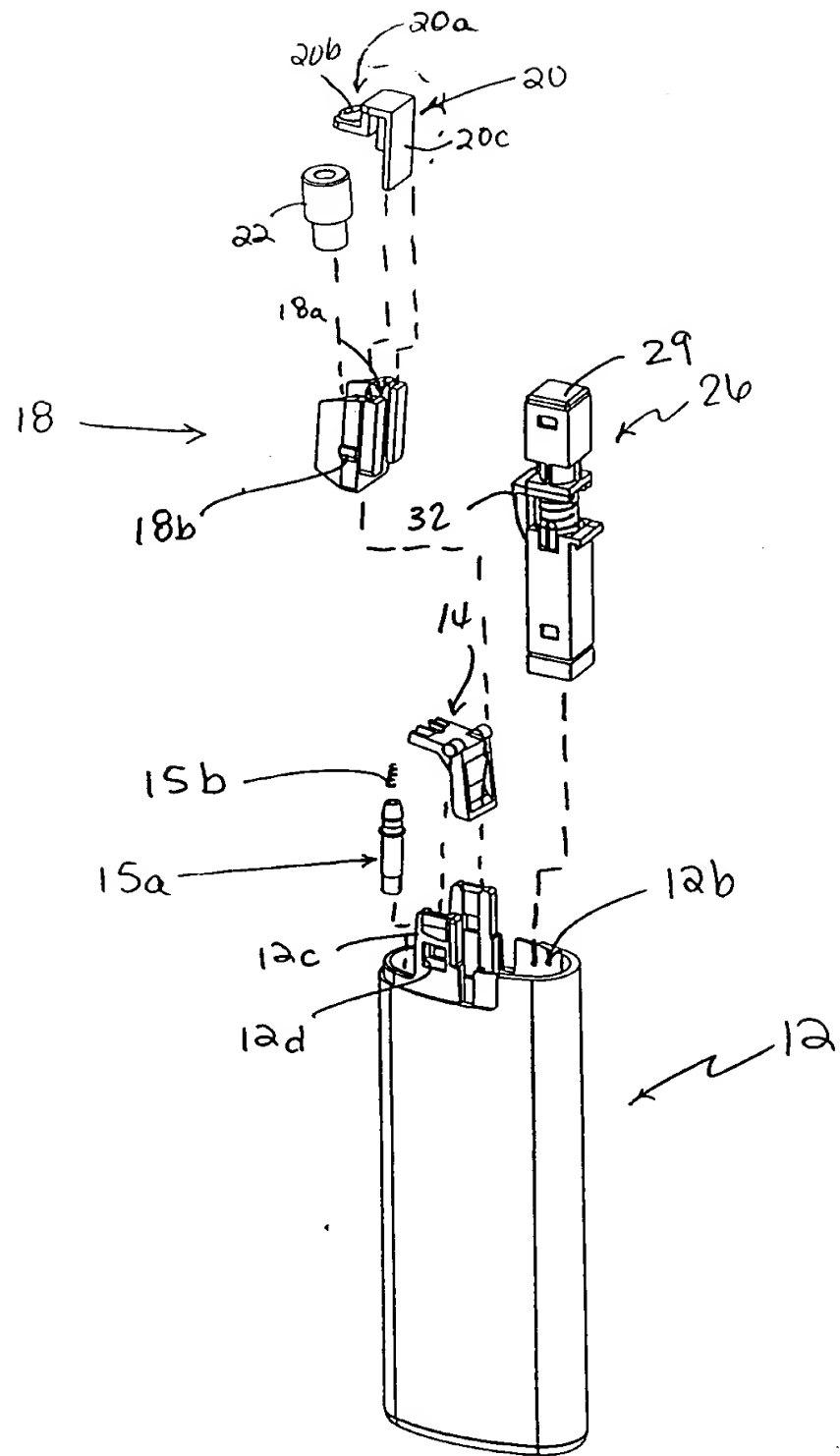


Fig. 1A

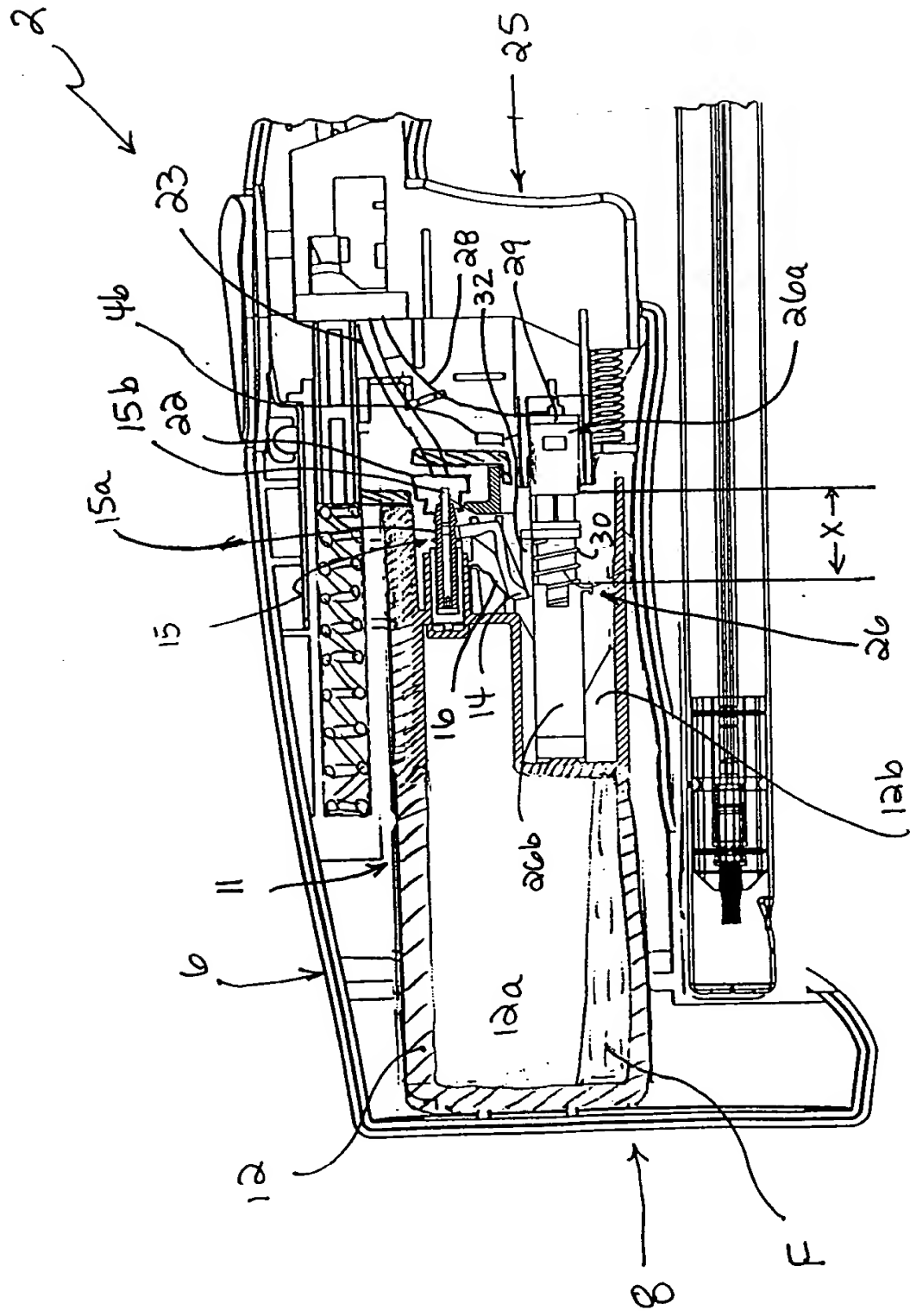
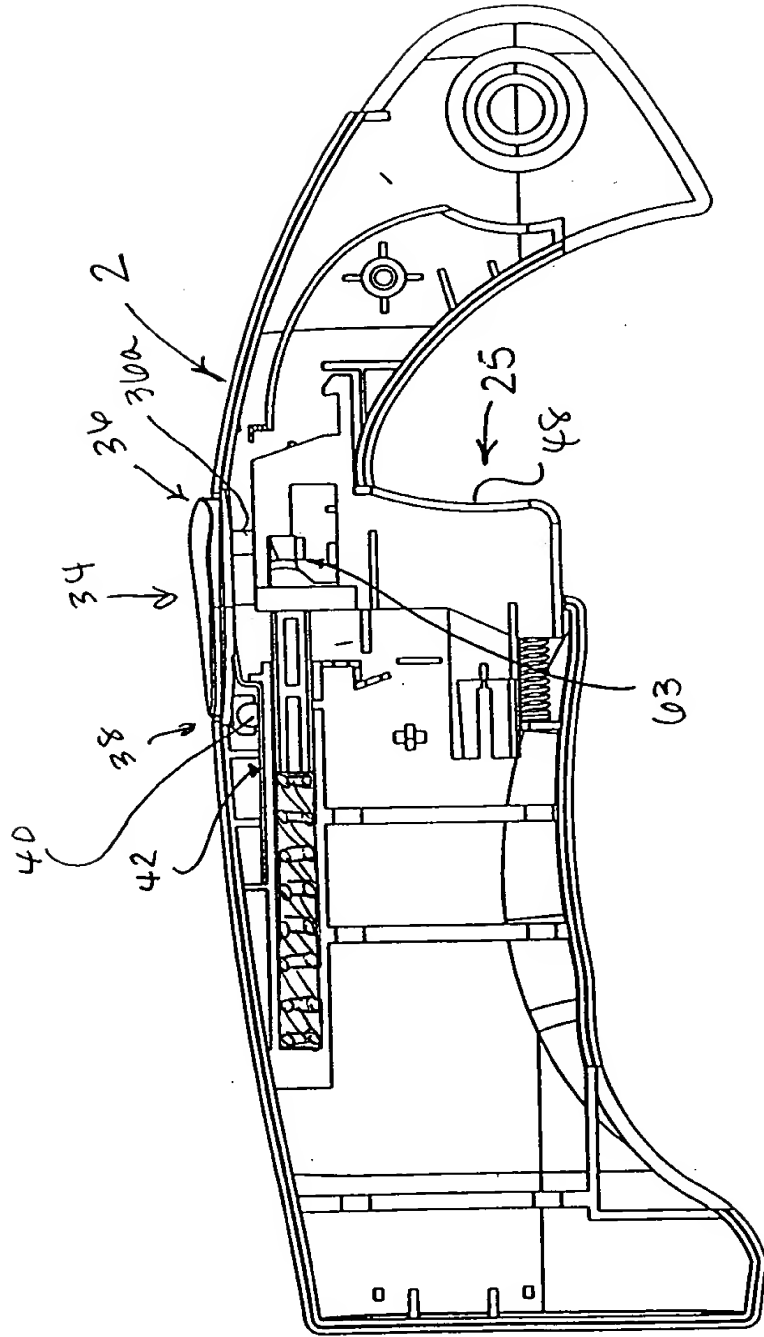


Fig. 1B

Fig. 2



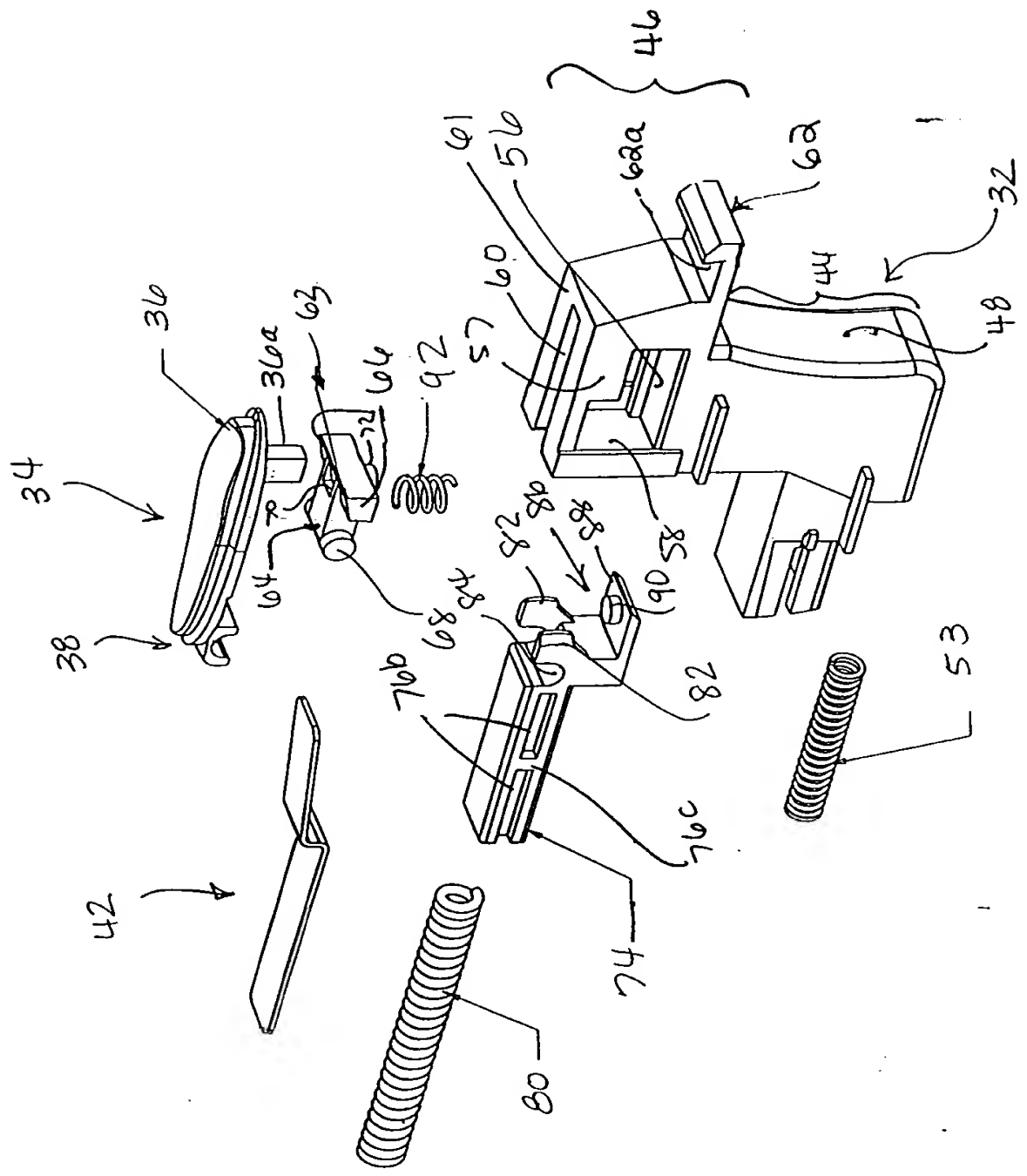


Fig. 3

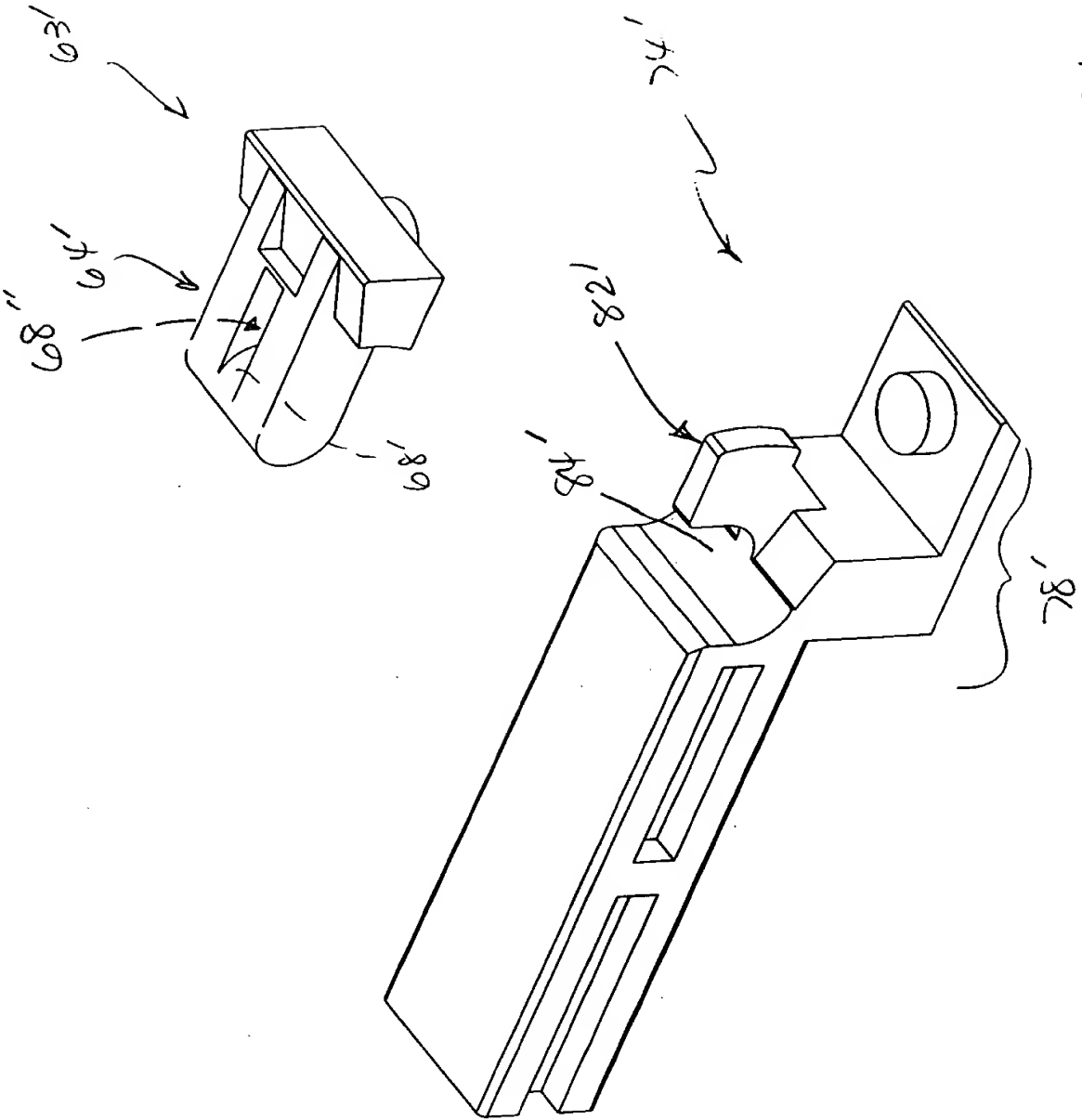


Fig. 3A

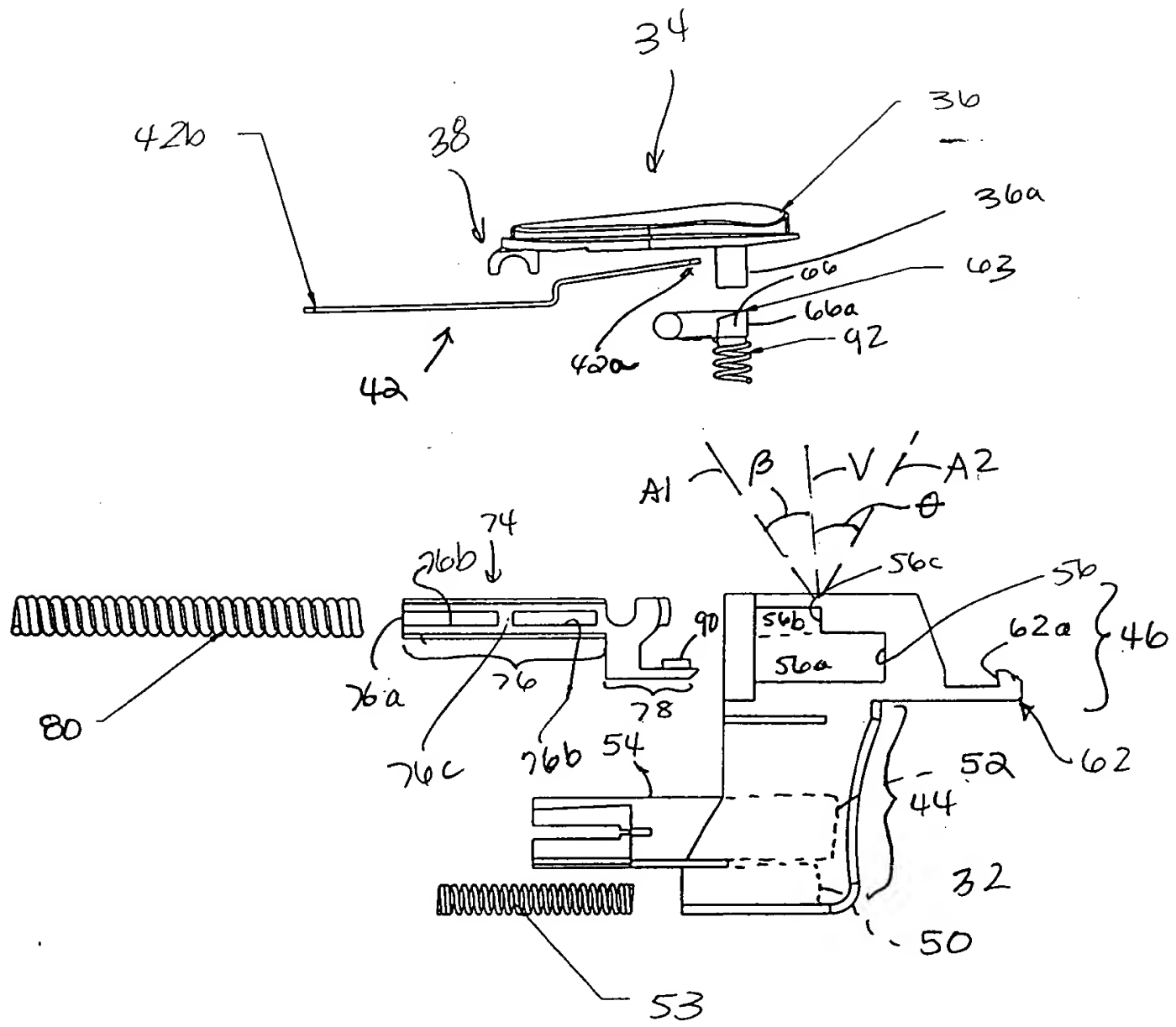
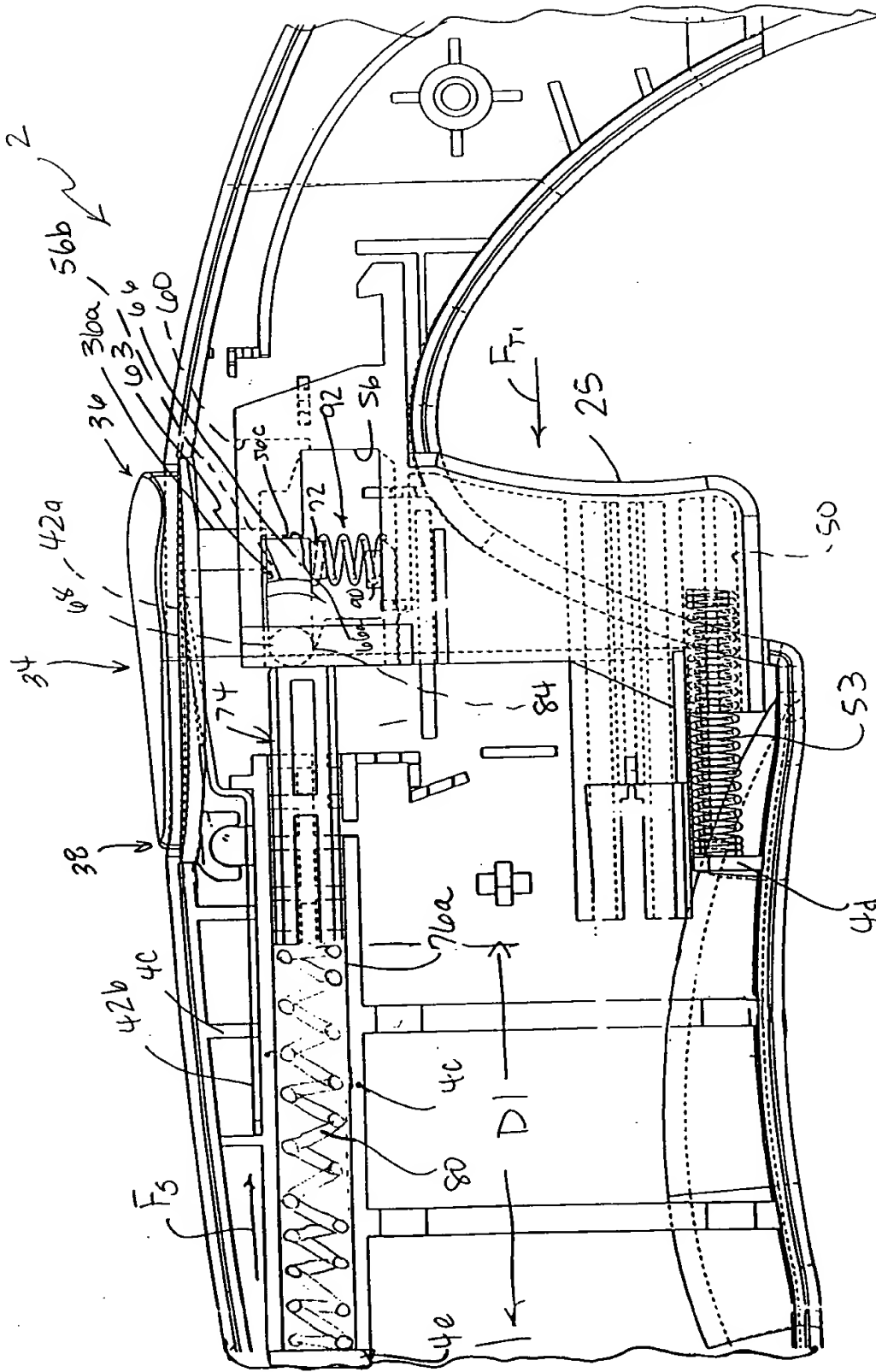


Fig. 4



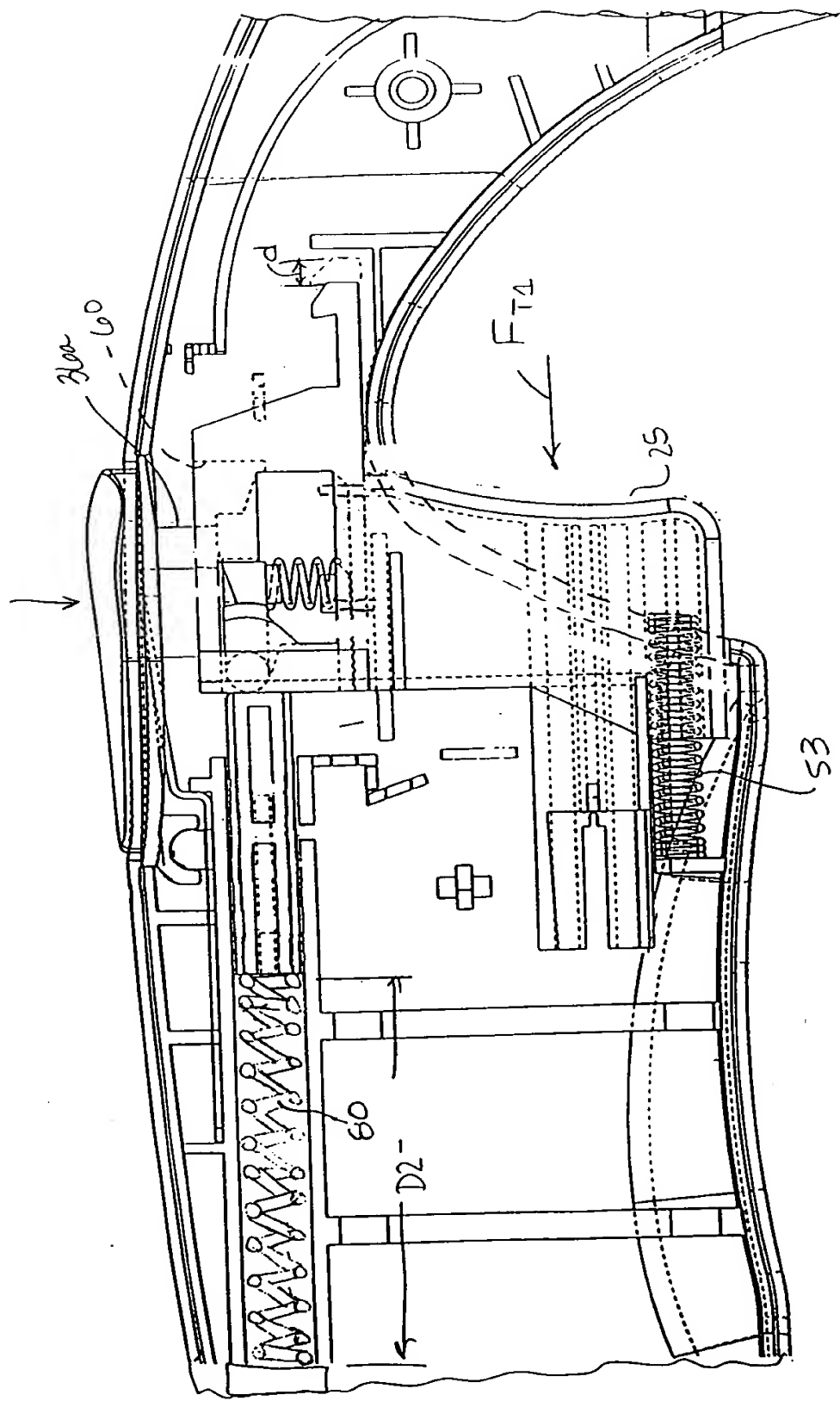


Fig. 6

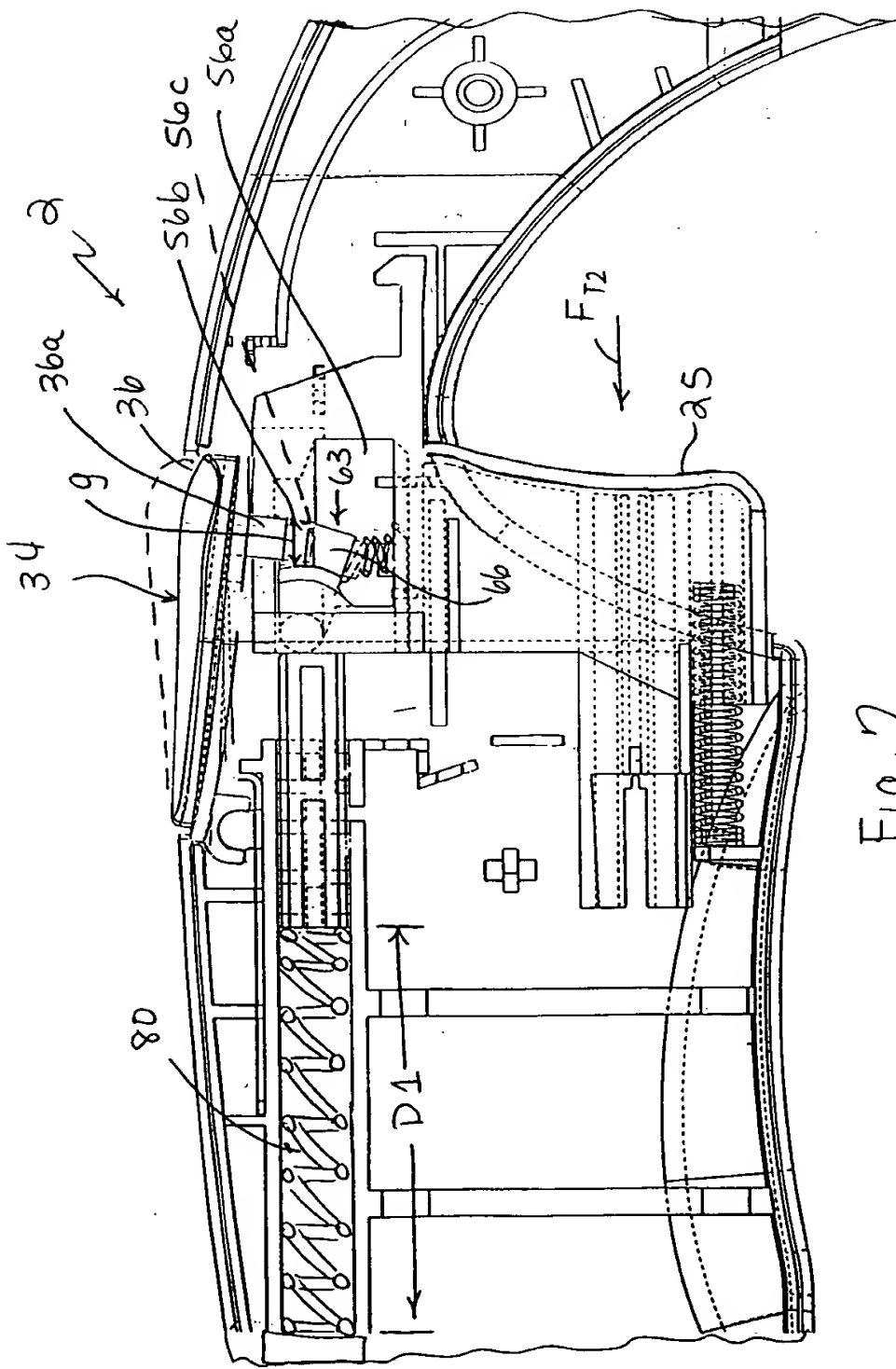


Fig. 7

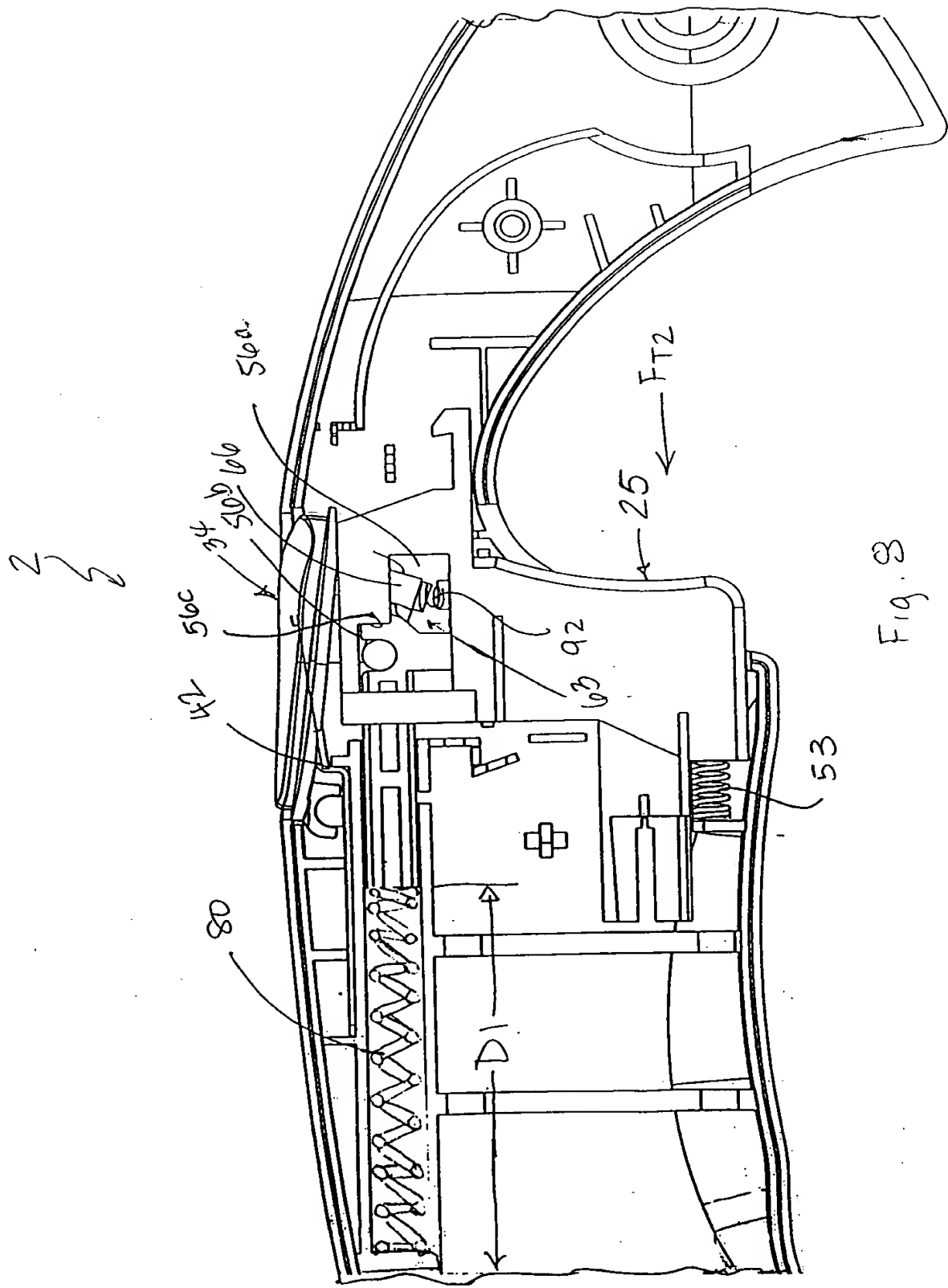


Fig. 3

Fig. 9

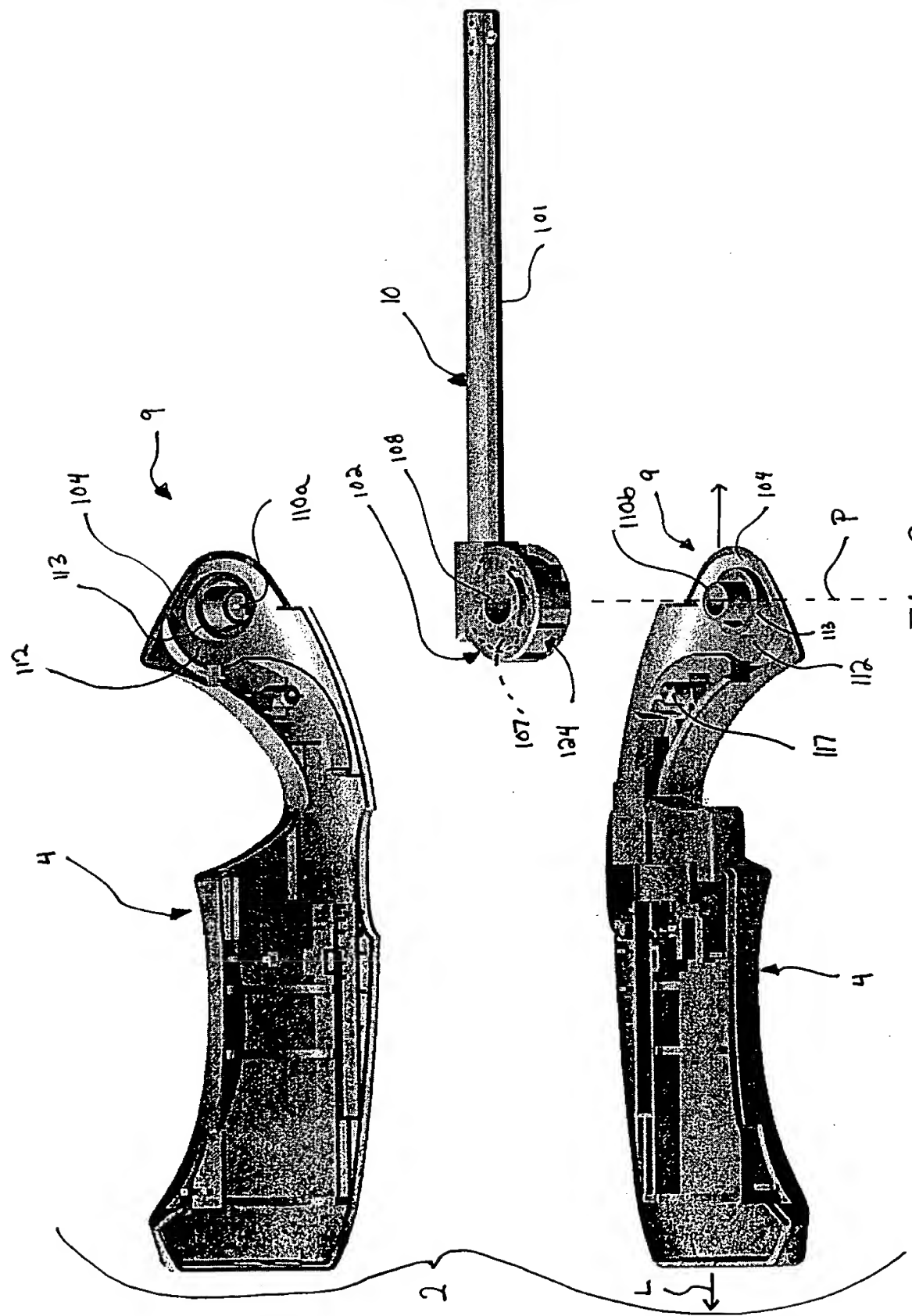
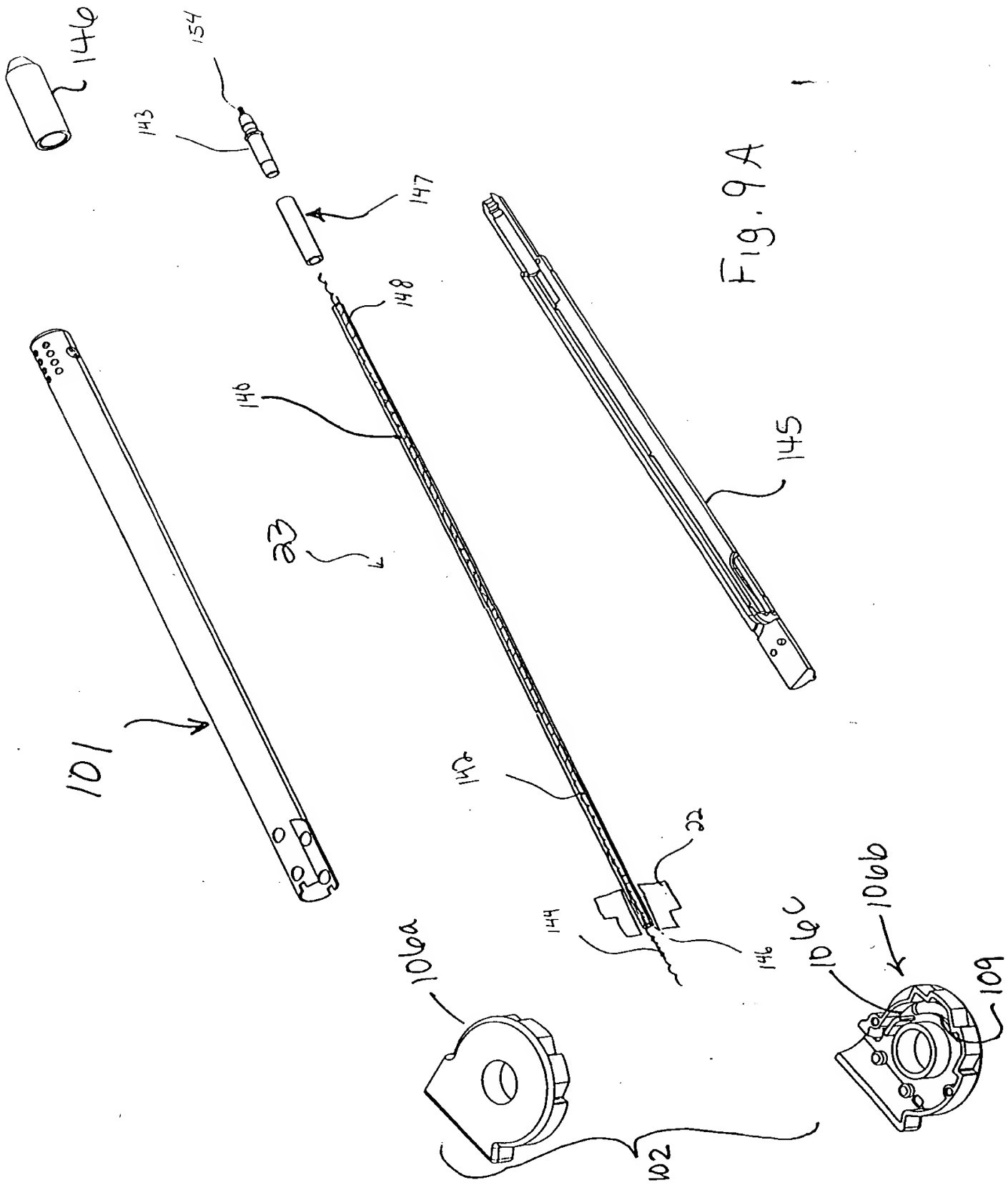


Fig. 9A



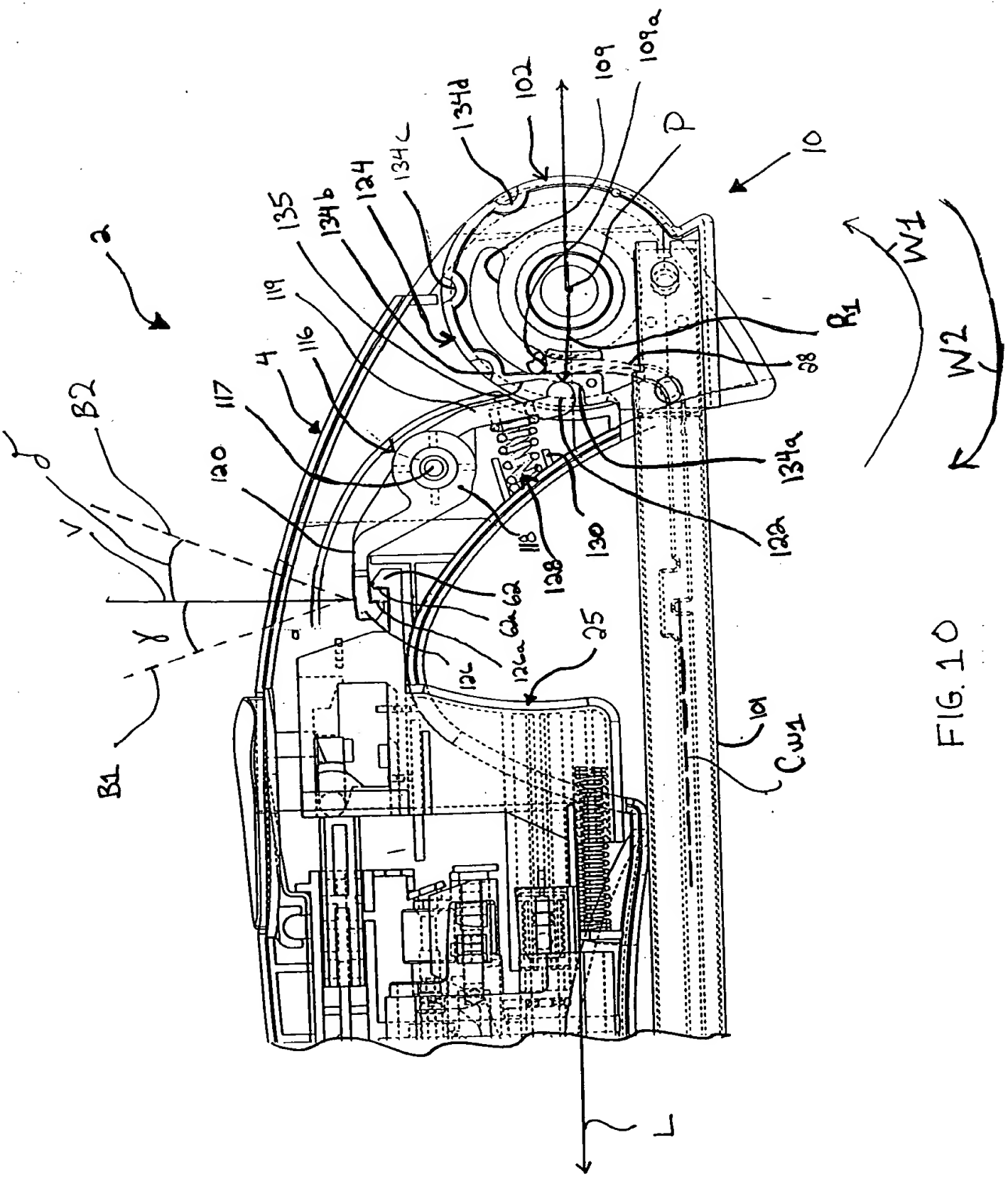


FIG. 10

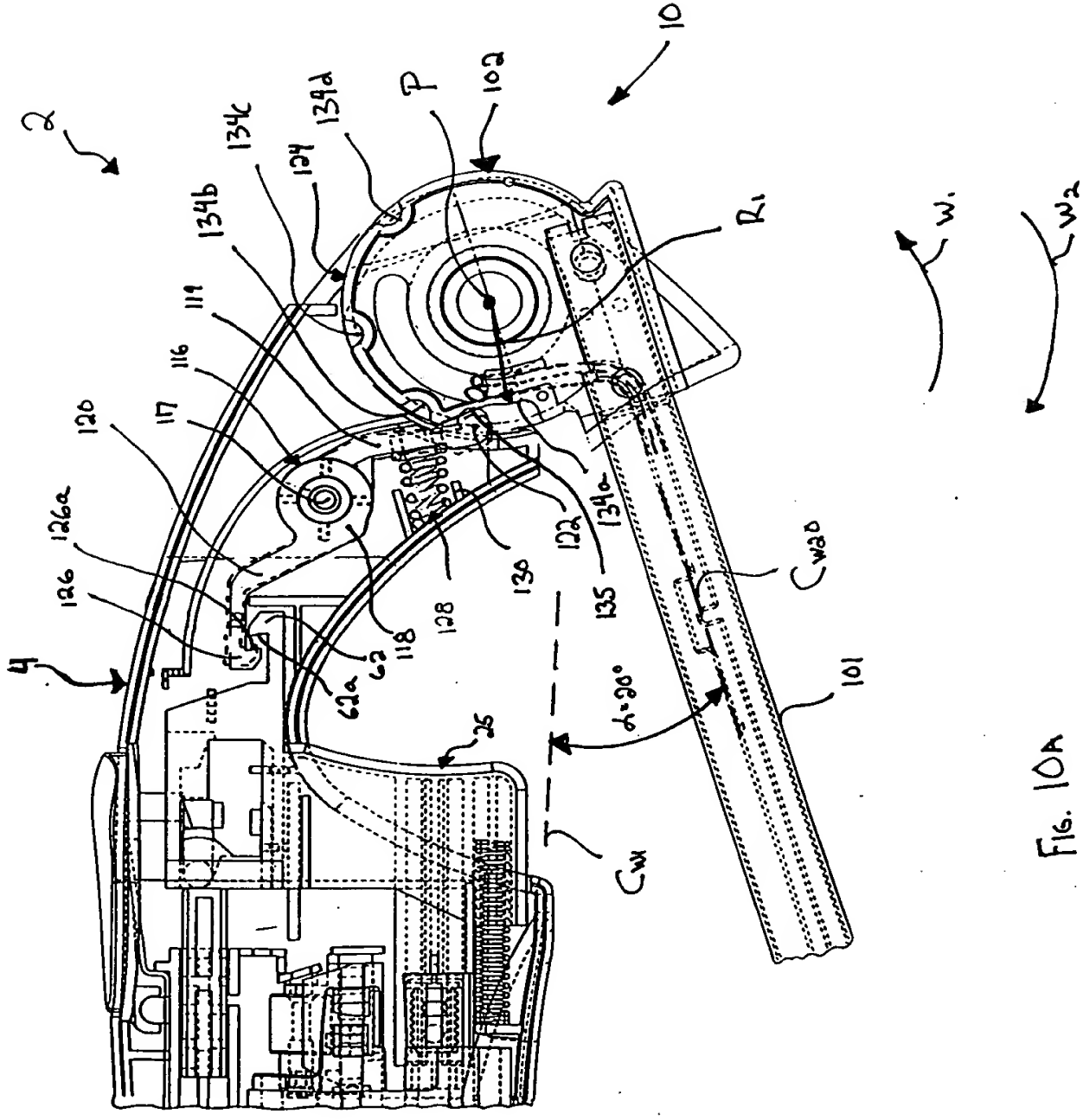


Fig. 10A

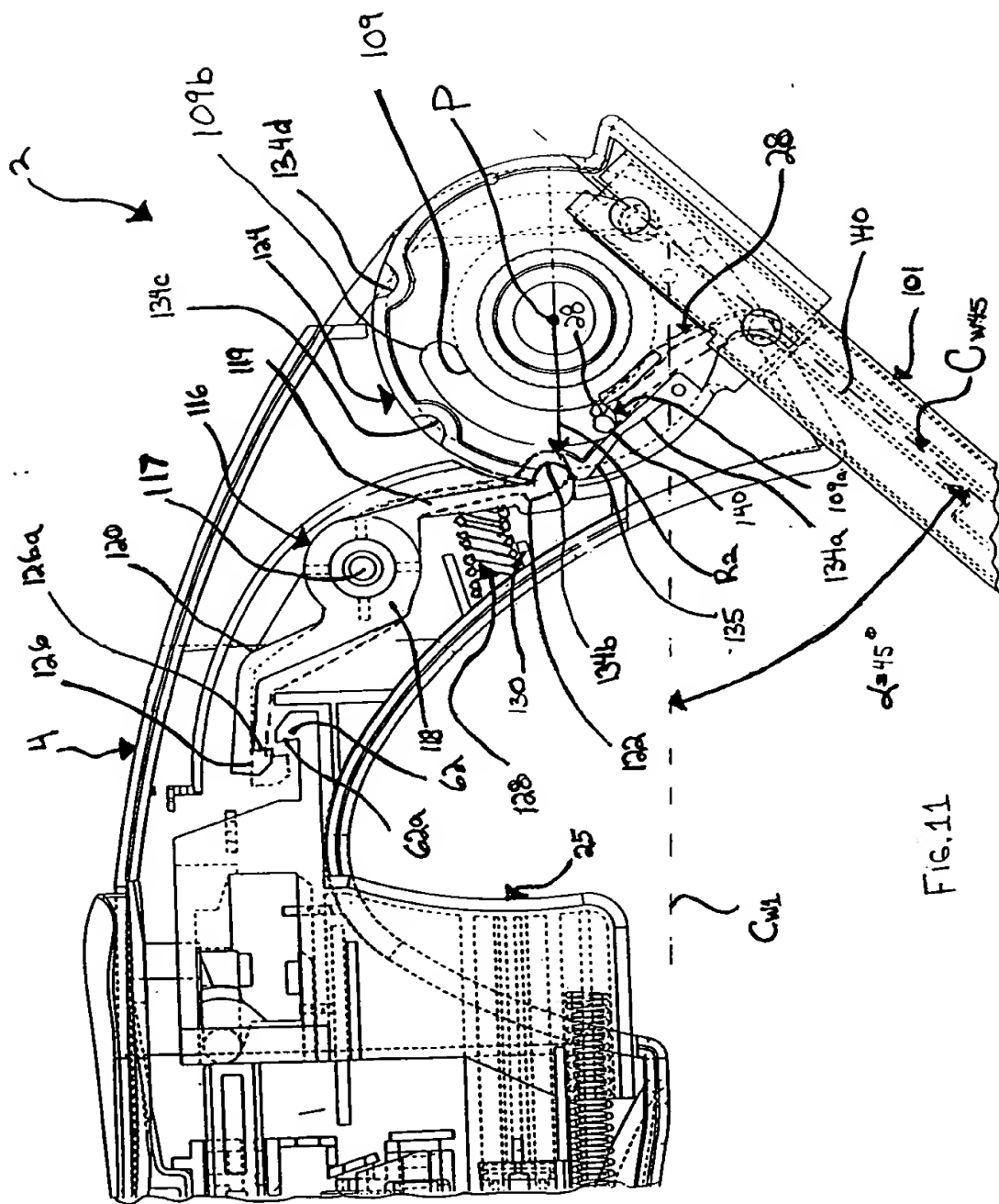


Fig. 11

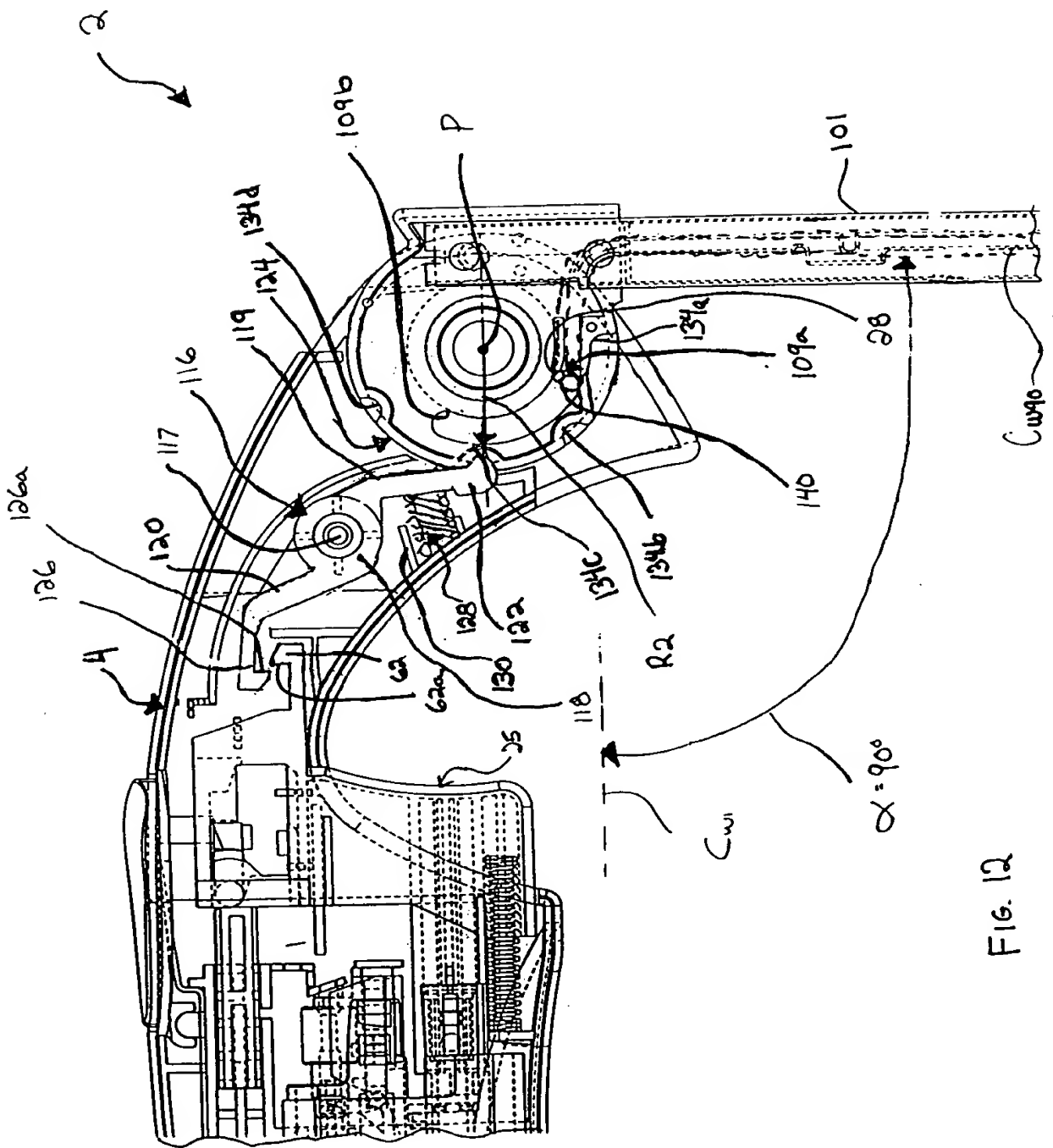


Fig. 12

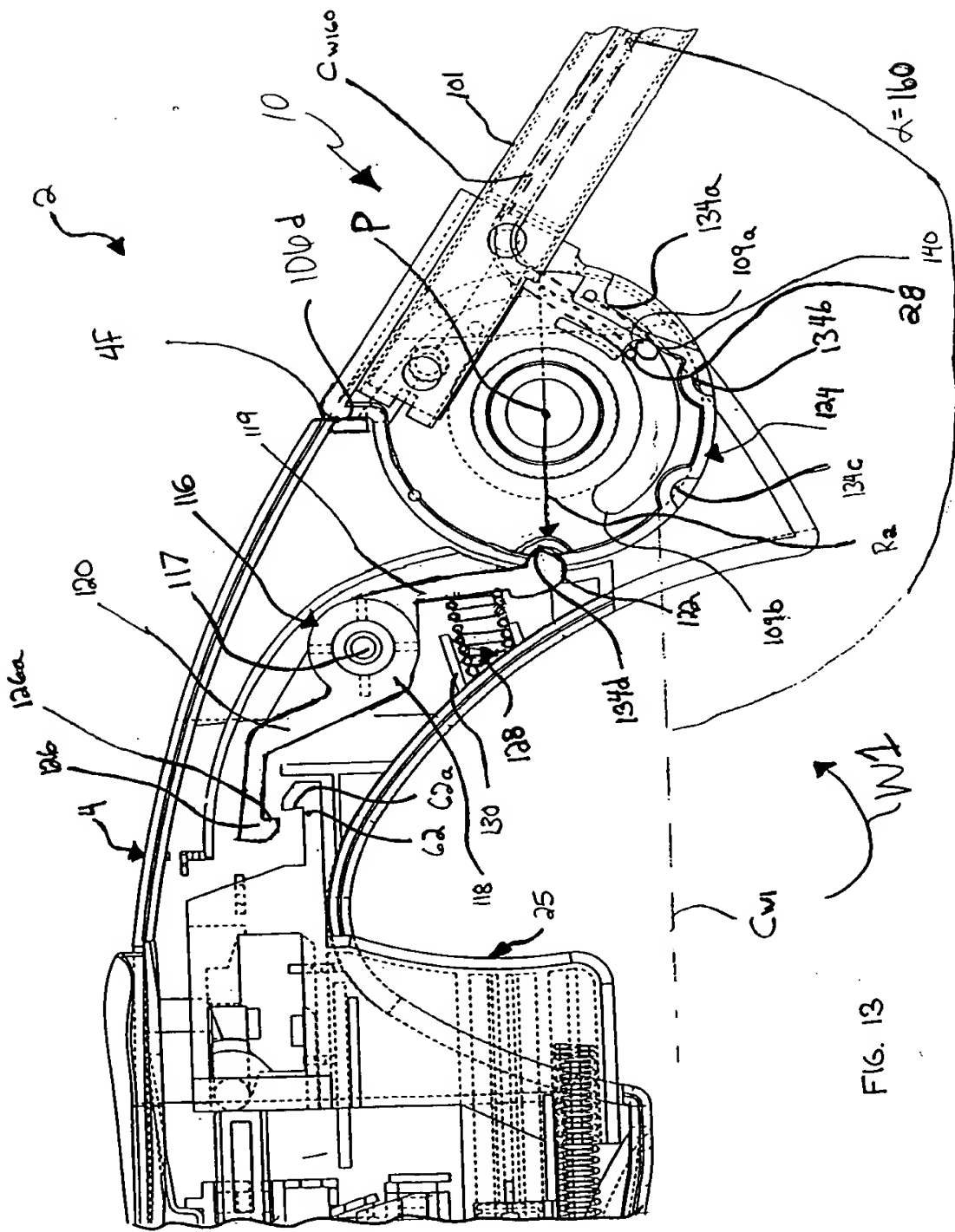
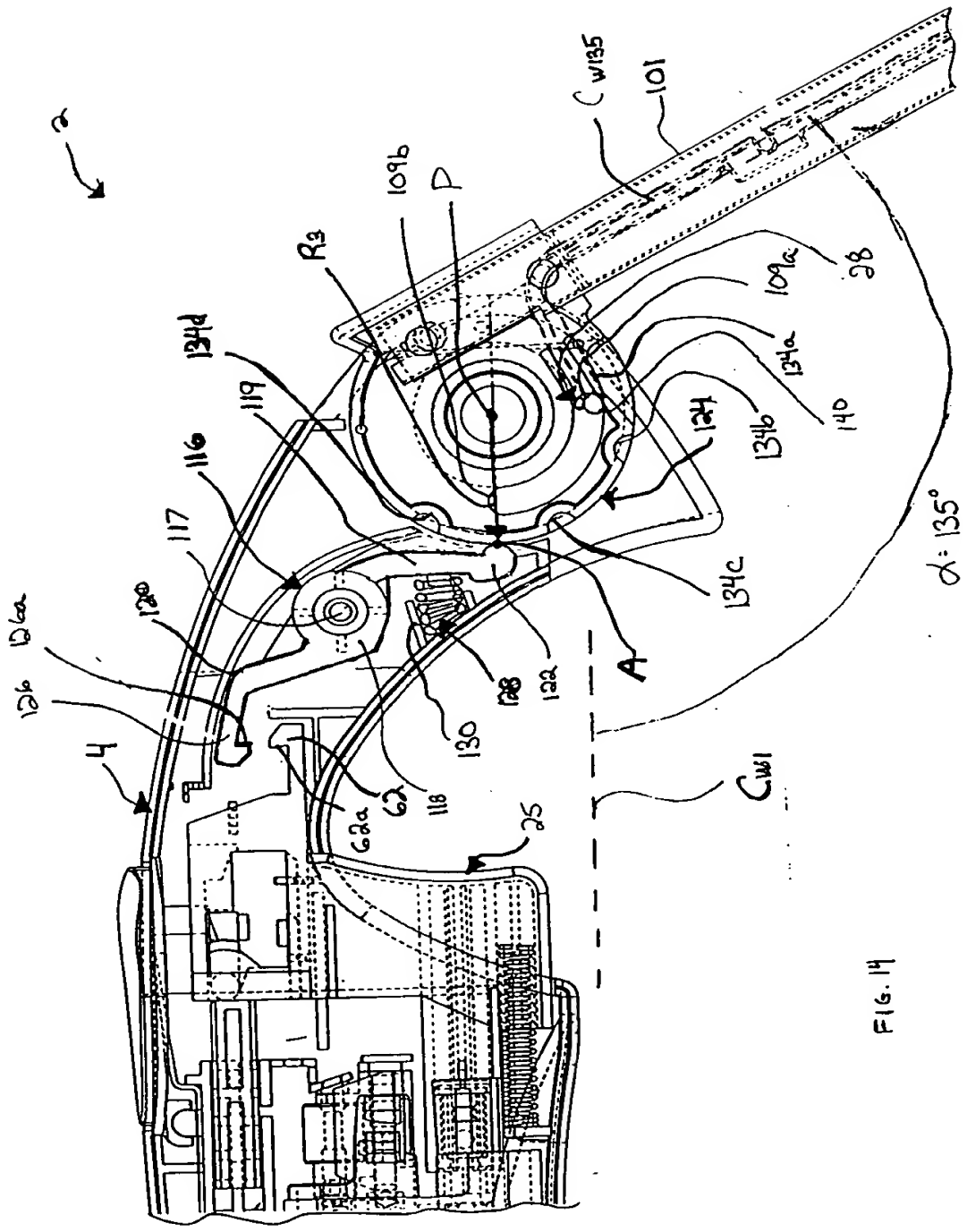


Fig. 13



三

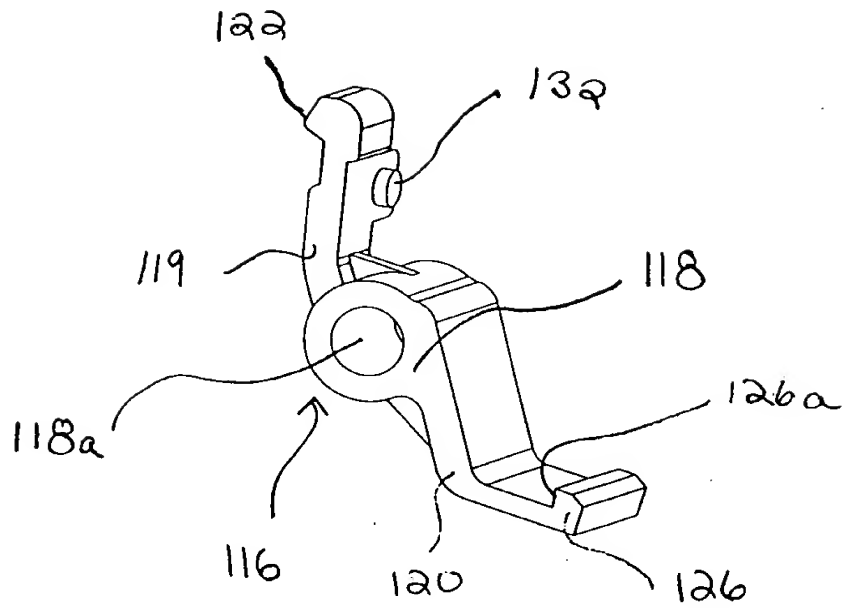


FIG. 15

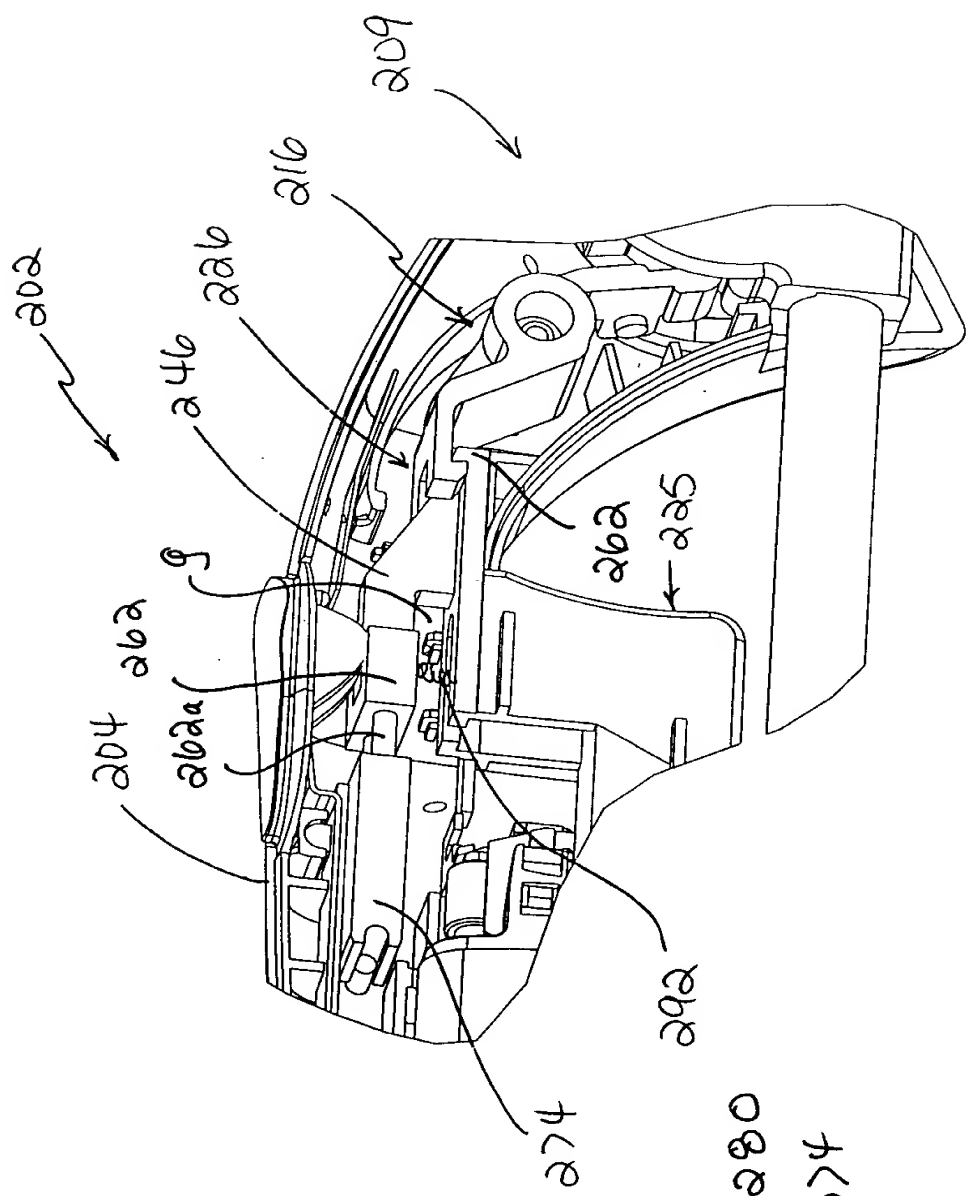


Fig. 16A

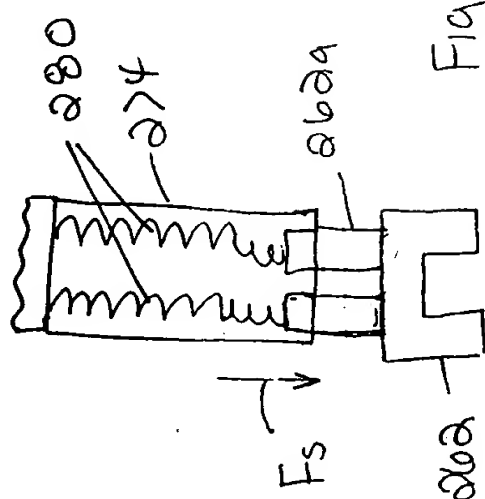


Fig.

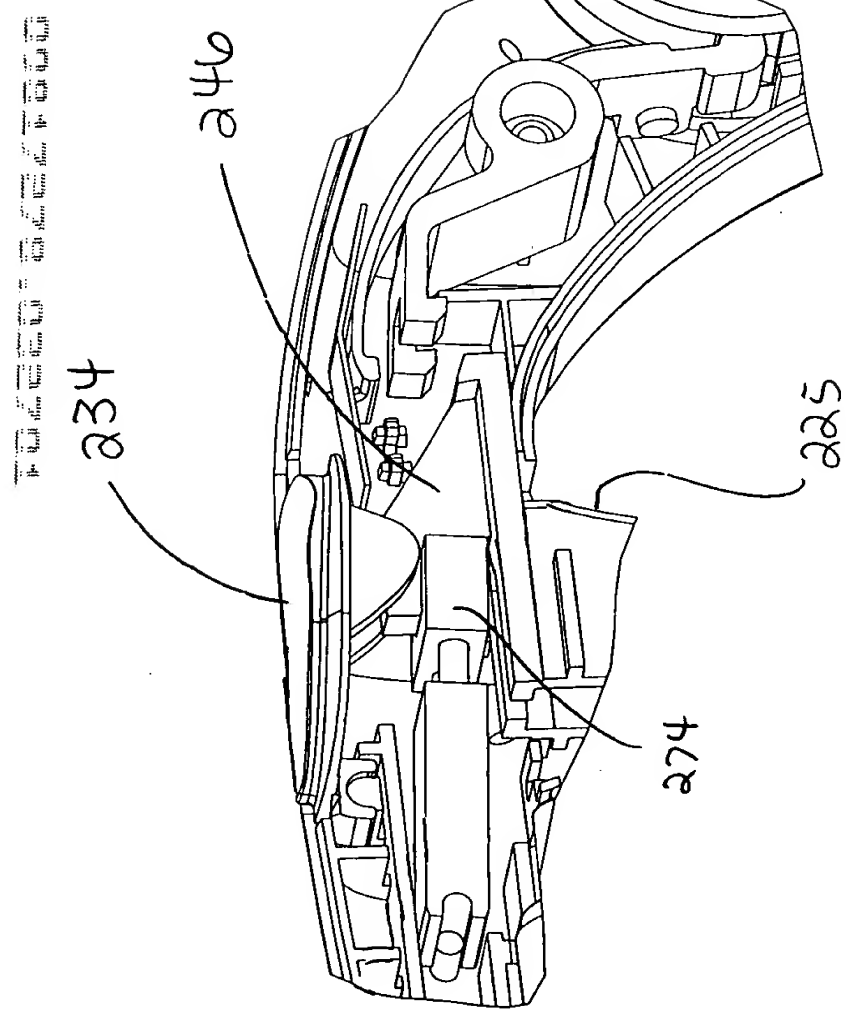


Fig. 17

Fig. 18

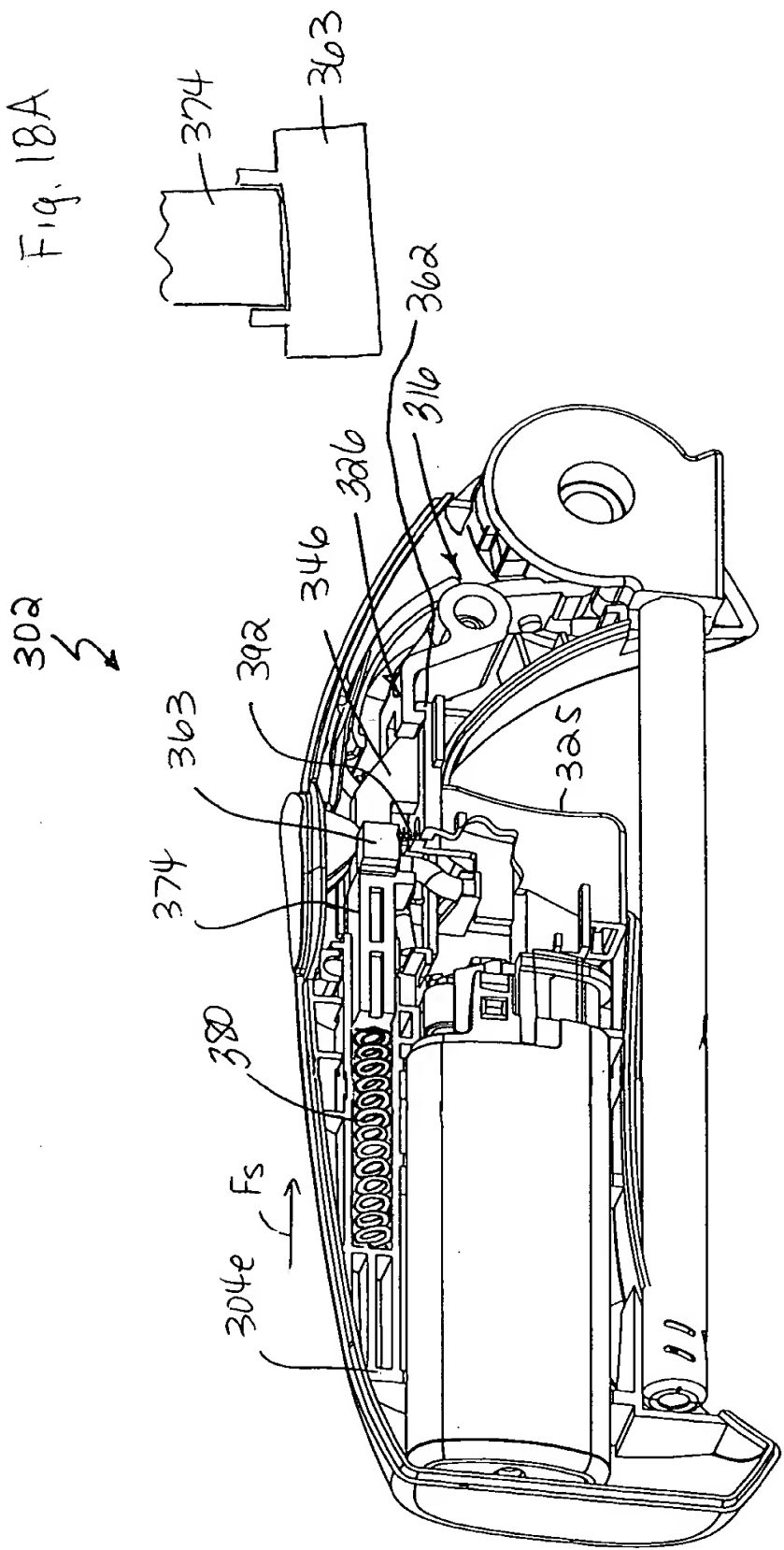
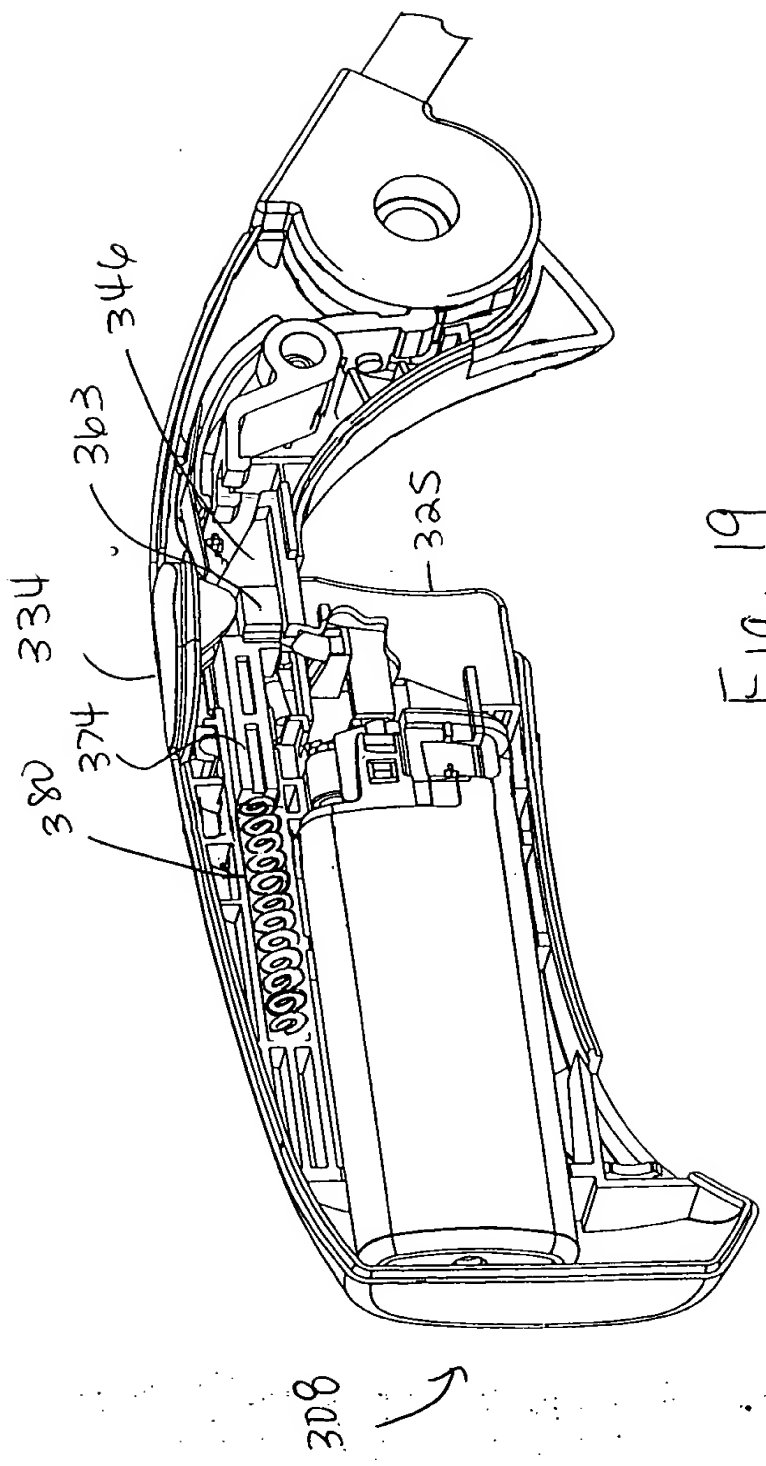


Fig. 18A

Fig. 19



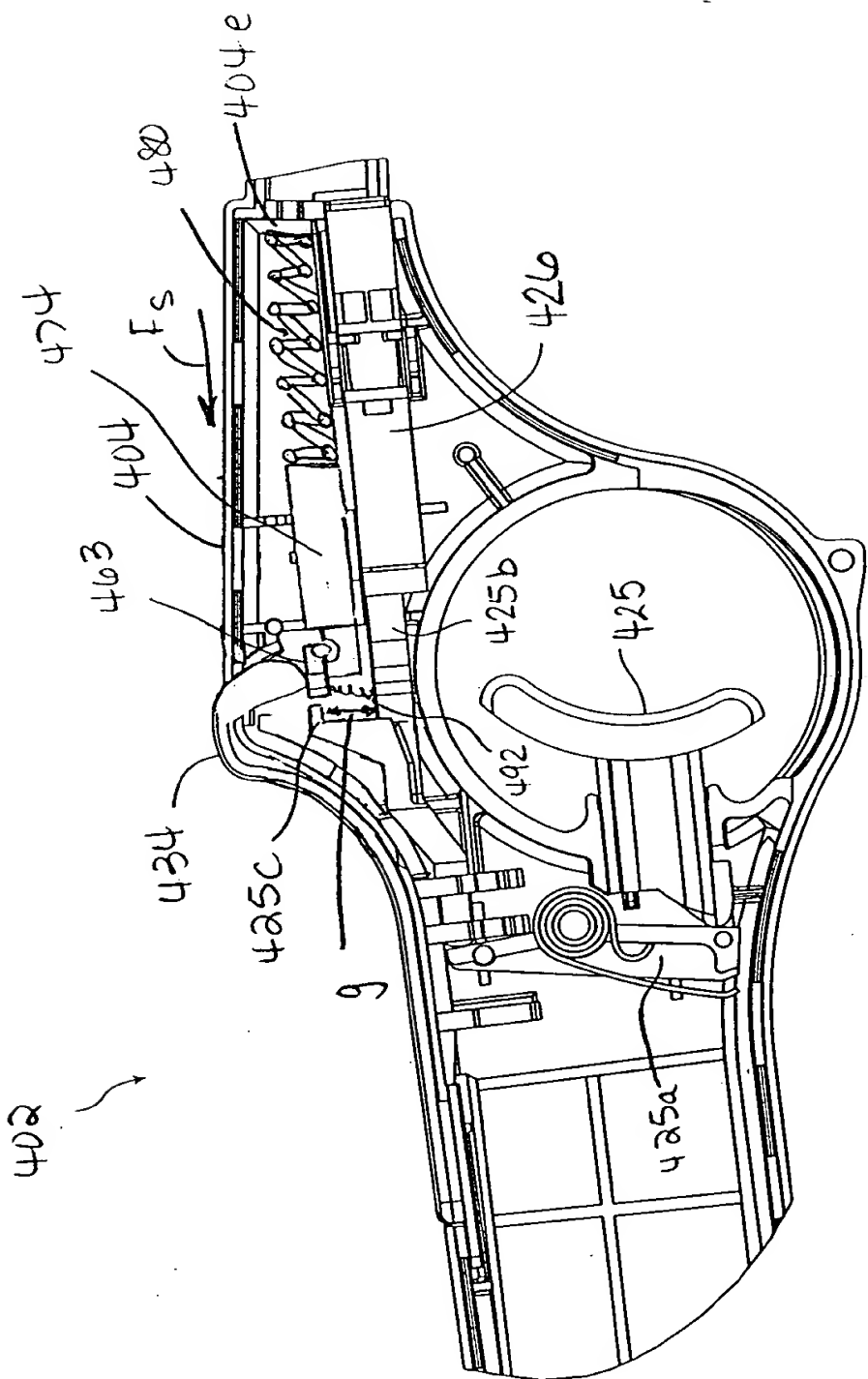
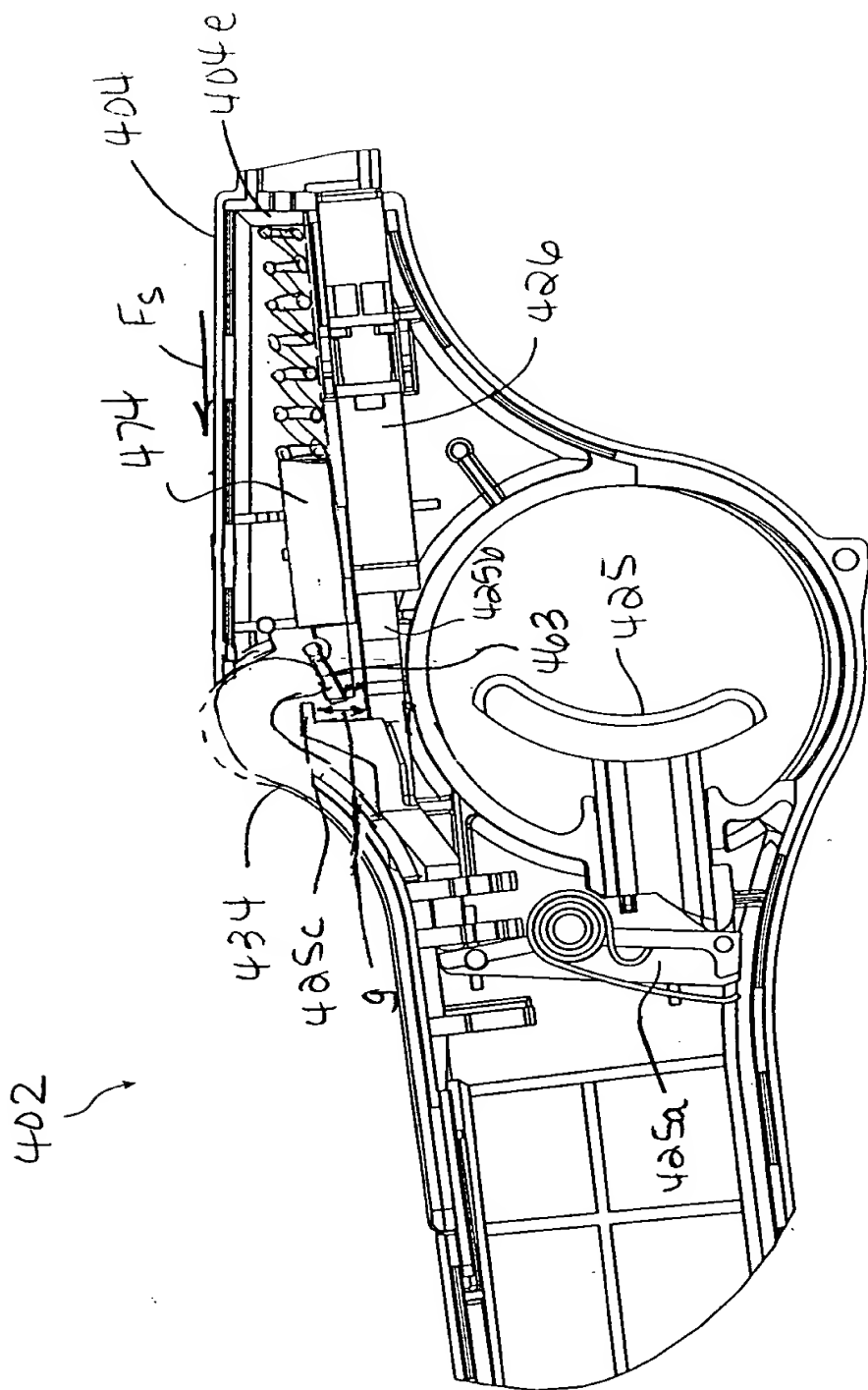


Fig. 20

Fig. 21



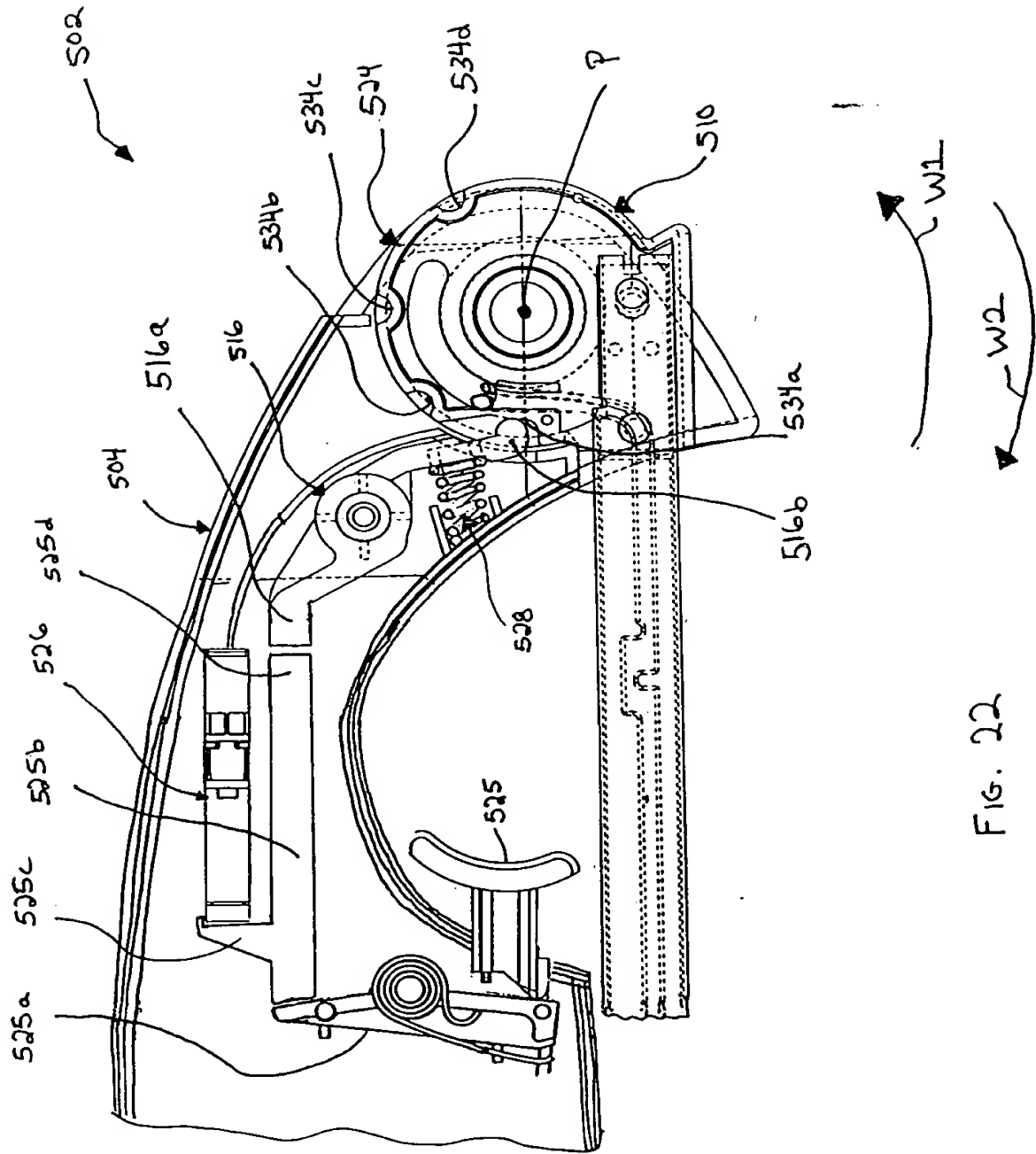
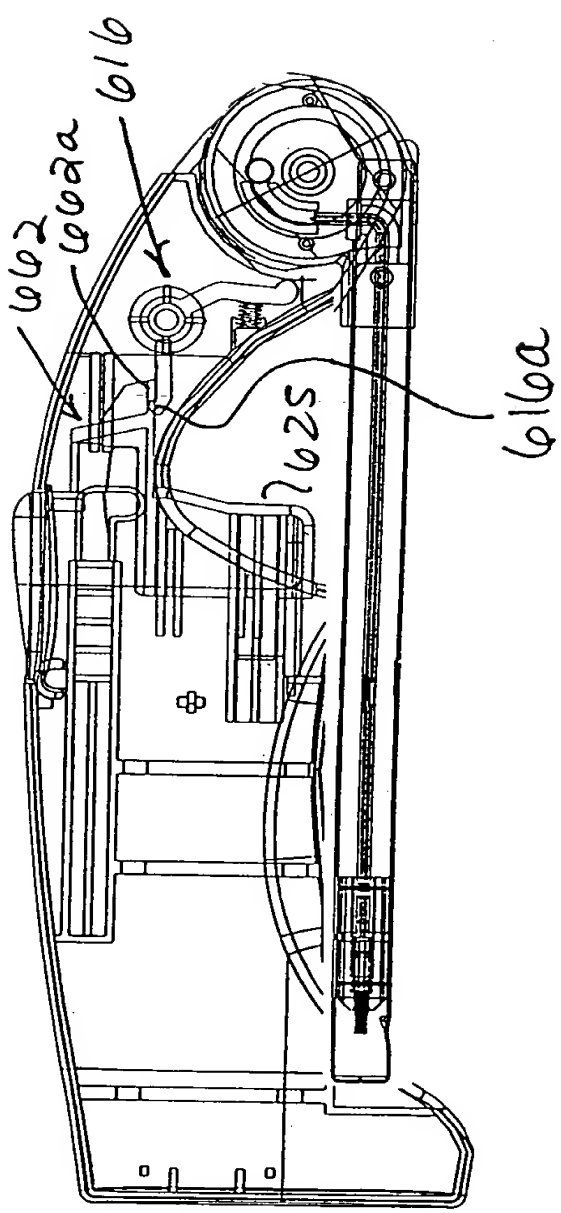


Fig. 23



602

Fig. 24

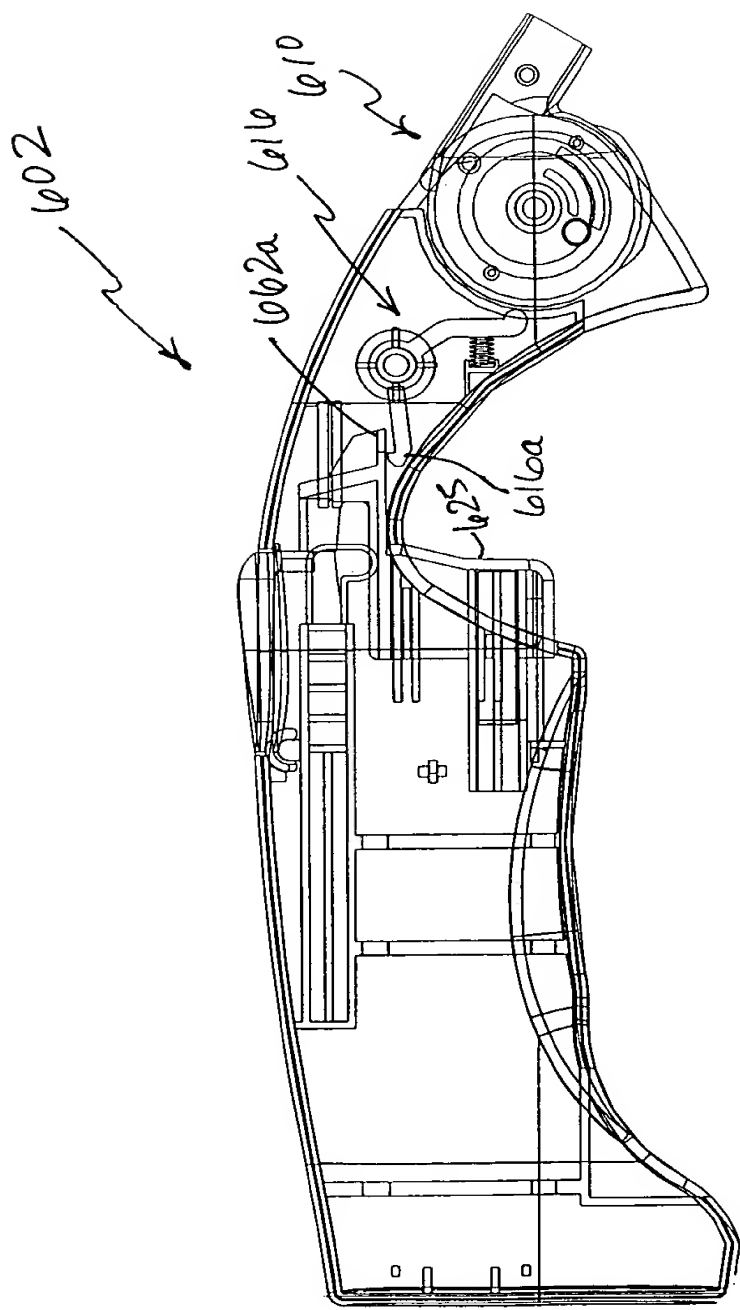


Fig. 25

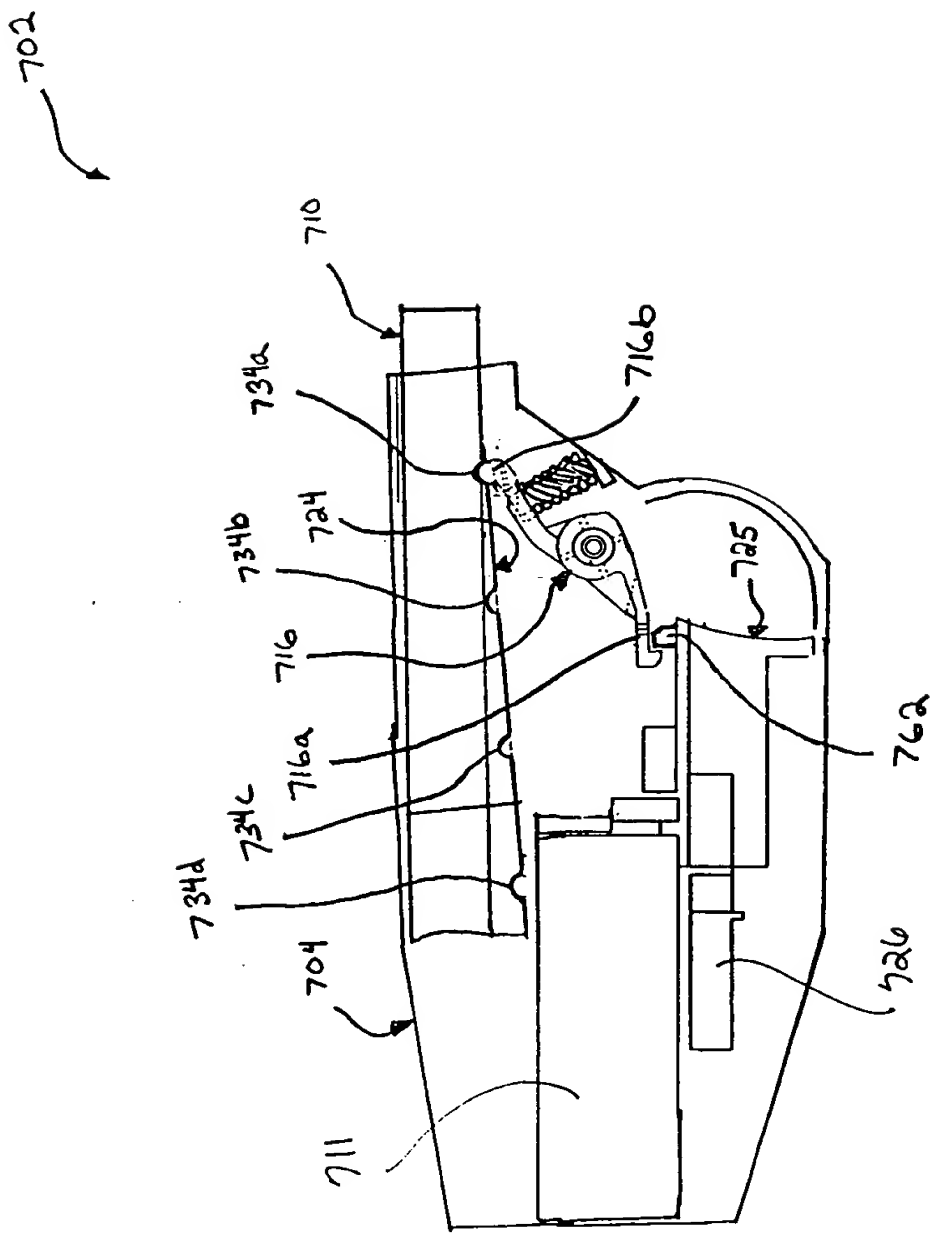
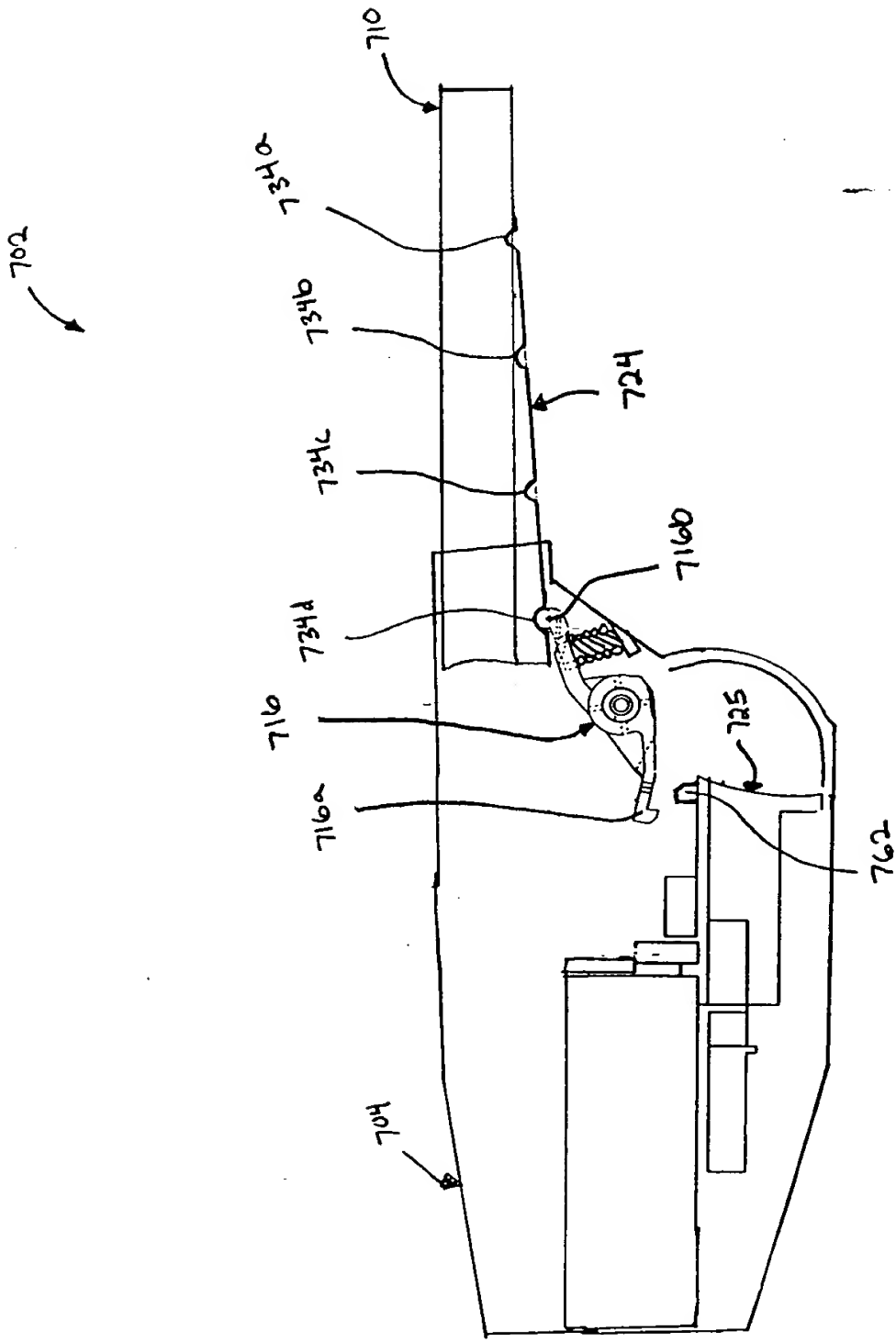


FIG. 26



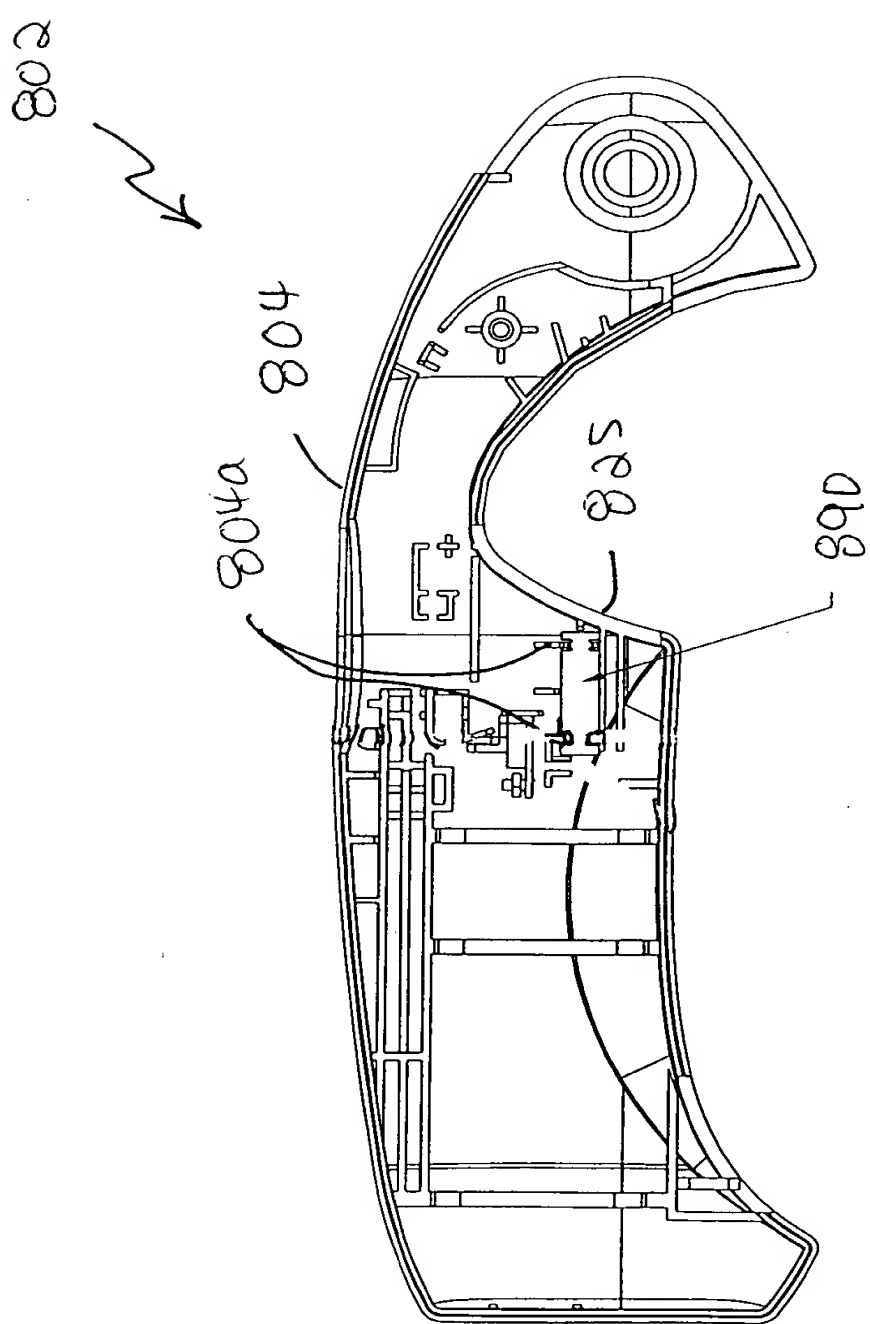


Fig. 27

Fig. 38

